

ΑΝΑΚΟΙΝΩΣΕΙΣ ΜΗ ΜΕΛΩΝ

ΧΗΜΕΙΑ ΤΡΟΦΙΜΩΝ.— **Φασματοφωτομετρική μέθοδος διακρίσεως τῶν ύδρογονωμένων ἐλαιολάδων ἐκ τῶν ύδρογονωμένων φυτικῶν ἐλαίων, ὑπὸ *L. N. Ninnis* καὶ *M. L. Ninnis**. Ἀνεκοινώθη ὑπὸ τοῦ Ἀκαδημαϊκοῦ κ. Ἐμμ. Ἐμμανουὴλ.**

Τὸ ἐλαιόλαδον καὶ τὰ ἔξ αὐτοῦ λαμβανόμενα προϊόντα, ἢτοι ἔξηγενισμένον καὶ υδρογονωμένον ἐλαιόλαδον, λόγῳ τῆς ύψηλοτέρας αὐτῶν τιμῆς, νοθεύονται δι' ἀντιστοίχων προϊόντων ἐκ σπαρελαίων.

Ἡ ἀνίχνευσις τῆς προσθήκης φυτικῶν ἐλαίων εἰς τὸ καλῆς ποιότητος παρθένον ἐλαιόλαδον ἐπιτυγχάνεται διὰ χρησιμοποιήσεως σειρᾶς μεθόδων, ὡς ἡ ἀντίδρασις Bellier (1), ἡ ἀντίδρασις διὰ νιτρικοῦ δξέος (2,3), ἡ μέτρησις τῆς εἰδικῆς ἀπορροφήσεως εἰς 233μμ καὶ 270μμ (4,5) κ.λ.π.

Ὦς ἀπεδείχθη προσφάτως (6), ἡ φασματοφωτομετρία εἰς τὴν περιοχὴν τῶν βραχέων κυμάτων τοῦ ὑπεριώδους φάσματος δύναται νὰ χρησιμοποιηθῇ πρὸς ἀνίχνευσιν τῆς προσθήκης φυτικῶν ἐλαίων εἰς παρθένον ἐλαιόλαδον πάσης ποιότητος, ἢτοι πρόσφατον ἡ πεπαλαιωμένον, ὡς καὶ εἰς ἔξηγενισμένον τοιοῦτον, διότι ἡ εἰδικὴ ἀπορρόφησις εἰς 210μμ τοῦ μὲν ἐλαιολάδου κυμαίνεται μεταξὺ 14,0 καὶ 21,5, τῶν δὲ φυτικῶν ἐλαίων μεταξὺ 56,0 καὶ 78,0.

Εἰς τὴν παροῦσαν ἐργασίαν γίνεται ἐπέκτασις τῆς ὡς ἡνω μεθόδου, πρὸς διάκρισιν τοῦ ύδρογονωμένου ἐλαιολάδου ἐκ τῶν ύδρογονωμένων φυτικῶν ἐλαίων.

Εἰς τὴν περιοχὴν τῶν βραχέων κυμάτων τοῦ ὑπεριώδους φάσματος, εἰδικῶς δὲ εἰς 210μμ., ἡ ἀπορρόφησις ἔξαρτᾶται ἐκ τοῦ εἴδους τῶν ἀκορέστων λιπαρῶν δξέων,

* L. N. NINNIS and M. L. NINNIS, *The Distinction of the Hydrogenated Olive Oils from the Hydrogenated Vegetable Oils.*

χωρὶς αὔτη νὰ εἶναι ἀπλῆ συνάρτησις τοῦ ἀριθμοῦ τῶν περιεχομένων διπλῶν δεσμῶν (7). Δεδομένου ὅτι κατὰ τὴν ὑδρογόνωσιν τῶν φυτικῶν ἐλαίων δὲν ἔπιδιώκεται πλήρης κορεσμὸς τῶν διπλῶν δεσμῶν, ἀλλ' ἀπλῶς αὔξησις τοῦ σημείου τήξεως, ὅπερ δὲν δύναται νὰ εἶναι μεγαλύτερον τῶν 42° (8), ἀναμένεται ὅτι τὸ εἰδος καὶ τὸ ποσὸν τῶν ἀπομενόντων μετὰ τὴν ὑδρογόνωσιν ἀκορέστων λιπαρῶν δέξεων θὰ εἶναι διάφορον διὰ προϊόντα τοῦ αὐτοῦ σημείου τήξεως, ὅταν τὸ ἐκ τούτων προέρχεται ἐξ ἐλαιολάδου, τὸ δὲ ἔτερον ἐκ συνήθους φυτικοῦ ἐλαίου.

Ἐκ τῶν ἀνωτέρω θεωρητικῶν προβλέπεται μεγάλη διαφορὰ εἰδικῆς ἀπορροφήσεως εἰς $210\text{m}\mu$ μεταξὺ ὑδρογονωμένων ἐλαιολάδων καὶ φυτικῶν ἐλαίων τοῦ αὐτοῦ σημείου τήξεως, συνεχῶς μειούμενη κατὰ τὴν πρόσθιον τῆς ὑδρογονώσεως.

Εἰς τὸ πειραματικὸν μέρος τῆς παρούσης ἔργασίας καθορίζεται ἡ διαφορὰ αὕτη μέχρι τοῦ ἀνωτάτου ἐπιτρεπομένου ὄρίου (42°). Λιπαραὶ ὅλαι πλέον δύστηκτοι δὲν κέκτηνται πρακτικὴν σημασίαν διὰ τὴν διατροφήν, διότι, κατὰ τὰς νεωτέρας ἀπόψεις, αὔται, ὡς περιέχουσαι μέγχαν ἀριθμὸν κεκορεσμένων λιπαρῶν δέξεων, εἶναι ἐπιβλαβεῖς διὰ τὸν ἀνθρώπινον ὀργανισμόν.

ΠΕΙΡΑΜΑΤΙΚΟΝ ΜΕΡΟΣ

α') Χρησιμοποιηθέντα ὄργανα:

- 1) Φασματοφωτόμετρον UNICAM S. P. 500
- 2) Διαθλασίμετρον μετὰ θερμαινομένων πρισμάτων C. ZEISS

β') Μέθοδοι ἀναλύσεως:

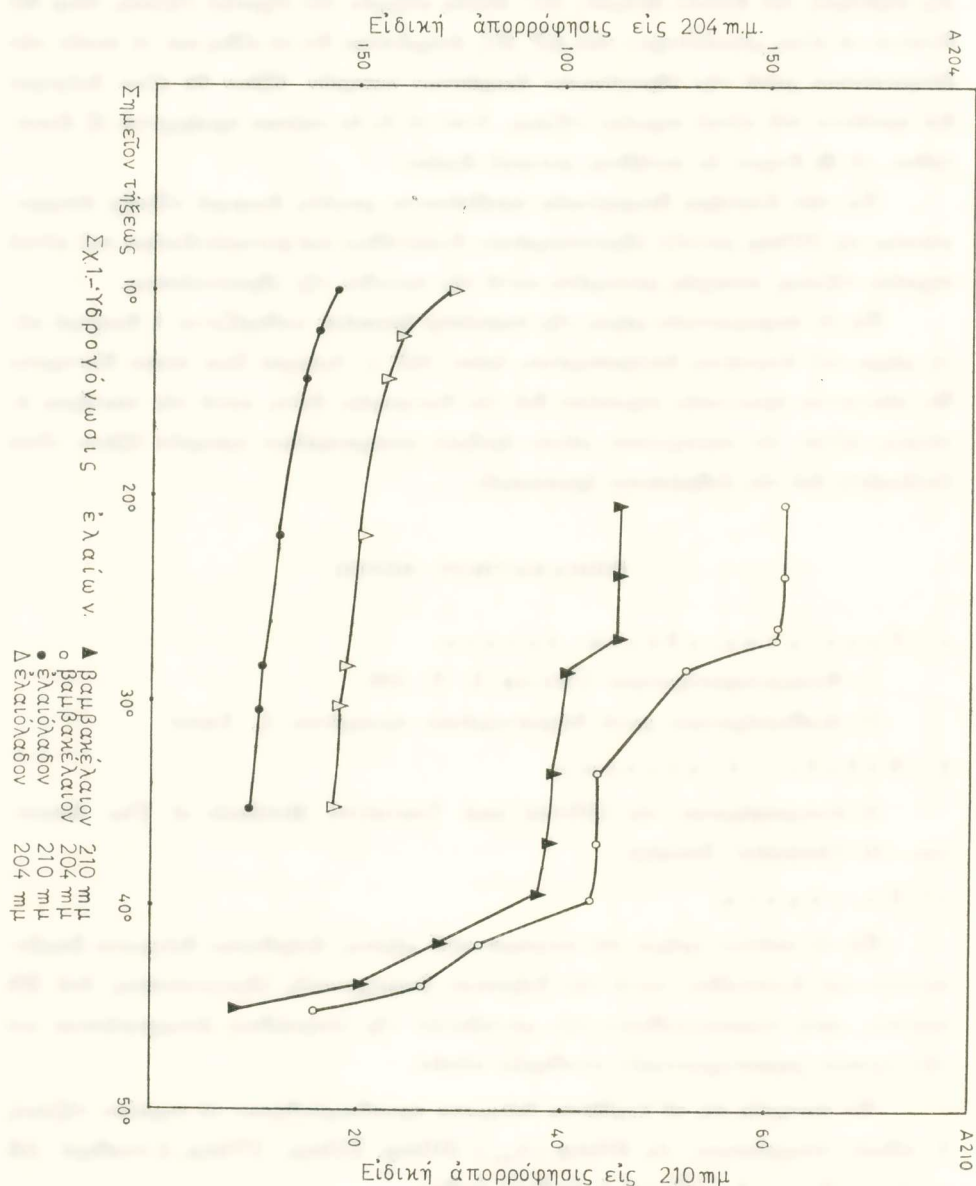
Αἱ ἀναγραφόμεναι εἰς Official and Tentative Methods of The American Oil Chemists' Society

γ') Πειράματα.

Εἰς τὸ πρῶτον τμῆμα τοῦ πειραματικοῦ μέρους, ἐλήφθησαν δείγματα βαμβακελαίου καὶ ἐλαιολάδου, κατὰ τὴν διάρκειαν βιομηχανικῆς ὑδρογονώσεως, ἀνὰ 20λ περίποι, πρὸς παρακολούθησιν τῶν μεταβολῶν τῆς ὑπεριώδους ἀπορροφήσεως καὶ τῶν λοιπῶν χαρακτηριστικῶν σταθερῶν αὐτῶν.

Ἐν συνεχείᾳ εἰς τὰ ληφθέντα δείγματα προσδιωρίσθησαν τὸ σημεῖον τήξεως, ἡ εἰδικὴ ἀπορρόφησις εἰς $204\text{m}\mu$ (A_{204}), $210\text{m}\mu$, $233\text{m}\mu$, $270\text{m}\mu$, ἡ σταθερὰ $\Delta K = A_{268} - (A_{262} + A_{274})/2$ καὶ ὁ ἀριθμὸς ἴωδίου.

Ἡ παρατηρηθεῖσα μεταβολὴ τῆς εἰδικῆς ἀπορροφήσεως εἰς $204\text{m}\mu$ καὶ $210\text{m}\mu$ παρίσταται γραφικῶς συναρτήσει τοῦ σημείου τήξεως εἰς τὸ Σχ.1 καὶ τὰ λοιπὰ ἀποτελέσματα εἰς τὸν Πίνακα I.



ΠΙΝΑΞ Ι

“Υδρογόνωστε βακελάτο

Σ.Τ.	(α)	20,5	24,0	26,5	27,0	28,5	33,5	37,0	39,4	40,2	42,0
Α.Ι.	(β)	104,4	104,0	100,8	100,4	94,07	83,98	74,46	69,20	65,5	56,3
	(γ)	1.4642	1.4642	1.4642	1.4640	1.4635	1.4629	1.4620	1.4615	1.4612	1.4610
A ₂₆₈		5,40	5,91	5,94	11,75	25,23	32,84	34,02	20,38	5,73	1,36
A ₂₇₀		4,21	3,71	3,71	2,35	0,878	0,900	0,854	0,598	0,273	0,477
ΔΚ (*)		679	596	596	225	26	24	24	23	0	-41

“Υδρογόνωστε λατόδοντο

Σ.Τ.	(α)	10,0	12,4	14,5	22,0	28,5	30,5	35,20	35,5
Α.Ι.	(β)	84,7	79,40	78,23	75,26	73,18	72,94	72,78	71,84
	(γ)	1.4619	1.4619	1.4618	1.4612	1.4610	1.4600	1.4600	1.4600
A ₂₆₈		2,97	6,11	6,31	3,96	2,21	1,86	1,66	1,64
A ₂₇₀		1,044	0,345	0,276	0,498	0,454	0,433	0,434	0,430
ΔΚ		143	10	12	0	0	0	0	0

(α) Σημεῖον τήξεως.

(β) Αριθμός λοδίου.

(γ) Διέντης διαθέσεως στο 400 C.

(*) Άλι τηλελ της ΔΚ × 1000.

Είς τὸ δεύτερον τμῆμα τοῦ πειραματικοῦ μέρους καθωρίσθη στατιστικῶς ἡ διακύμανσις τῆς εἰδικῆς ἀπορροφήσεως εἰς 204μμ καὶ 210μμ καὶ τῶν λοιπῶν χαρακτηριστικῶν σταθερῶν βιομηχανικῶν ὑδρογονωθέντων δειγμάτων ἐλαιολάδου, βαμβακελαίου καὶ σογελαίου (Πίναξ II).

Π Ι Ν Α Ε ΙΙ

 $\Delta \varepsilon \text{γματα } \text{ὑδρογονωμένου } \beta\alpha\mu\beta\alpha\kappa\epsilon\lambda\alpha\iota\sigma$

α/α	$\Sigma. T\eta\xi.$	A_{204}	A_{210}	A_{212}	A_{288}	A_{270}	ΔK	$\Delta. \Delta\alpha\theta\lambda. 40^\circ C.$
1.	34,5	131,20	50,00	43,75	79,68	2,75	535	1,4635
2.	34,5	97,03	39,95	32,60	58,50	2,54	430	1,4630
3.	40,3	107,20	32,16	15,93	3,18	0,906	147	1,4616
4.	34,4	98,92	40,46	32,97	44,97	2,63	540	1,4630
5.	39,5	99,61	26,35	14,44	2,50	0,796	128	1,4618
6.	41,5	81,92	20,61	12,15	2,64	0,644	95	1,4618
7.	47,9	39,31	10,01	6,68	1,63	0,297	15	—

 $\Delta \varepsilon \text{γματα } \text{ὑδρογονωμένου } \dot{\epsilon}\lambda\alpha\iota\sigma\lambda\delta\sigma$

α/α	$\Sigma. T\eta\xi.$	A_{204}	A_{210}	A_{212}	A_{288}	A_{270}	ΔK	$\Delta. \Delta\alpha\theta\lambda. 40^\circ C.$
1.	35,4	58,02	10,2	7,02	1,17	0,105	0	1,4605
2.	37,0	44,51	10,74	7,05	2,00	0,119	0	1,4605
3.	35,0	55,20	9,72	6,56	1,10	0,087	2	1,4600
4.	34,2	53,10	9,63	7,08	1,02	0,070	14	1,4605
5.	34,5	45,80	9,16	6,59	1,83	0,110	0	1,4605
6.	34,5	52,40	9,85	6,99	1,27	0,114	0	1,4603
7.	35,0	51,10	10,59	7,60	2,04	0,122	5	1,4605
8.	34,4	49,50	9,58	7,03	1,15	0,102	8	1,4603
9.	33,8	51,40	10,03	6,78	1,35	0,097	4	1,4604

 $\Delta \varepsilon \text{γματα } \text{ὑδρογονωμένου } \sigma\gamma\epsilon\lambda\alpha\iota\sigma$

α/α	$\Sigma. T\eta\xi.$	A_{204}	A_{210}	A_{212}	A_{288}	A_{270}	ΔK	$\Delta. \Delta\alpha\theta\lambda. 40^\circ C.$
1.	41,5	85,62	30,54	16,92	3,18	0,795	380	1,4630
2.	40,0	91,36	34,52	18,32	2,95	0,680	410	1,4632

Μαγειρικὰ λίπη

α/α	$\Sigma. T\eta\xi.$	A_{204}	A_{210}	A_{212}	A_{288}	A_{270}	ΔK	$\Delta. \Delta\alpha\theta\lambda. 40^\circ C.$
1. (*)	40,8	49,4	10,92	6,68	3,11	0,237	4	1,4608
2. (**)	40,2	108,0	28,80	17,28	5,18	0,785	103	1,4620

(*) Ἐξ ἐλαιολάδου (Φυτίνη).

(**) Ἐκ βαμβακελαίου (Παλμίνη).

ΣΧΟΛΙΑ ΕΠΙ ΤΟΥ ΠΕΙΡΑΜΑΤΙΚΟΥ ΜΕΡΟΥΣ

‘Η παρακολούθησις συνήθους βιομηχανικῆς θεραπείας σε υδρογονώσεως (Σχ.1) απέδειξεν, ότι διά προϊὸν ὀρισμένου σημείου τήξεως ὑπάρχει μεγάλη διαφορὰ τῆς εἰδικῆς ἀπορροφήσεως εἰς 204m^μ καὶ 210m^μ μεταξὺ βαμβακελαίου καὶ ἐλαιολάδου. ‘Η διαφορὰ αὕτη εἶναι τόσον σημαντική, ὡστε τὸ θεραπευτικόν βαμβακέλαιον σ.τ.42° ἐμφανίζει ὑπερδιπλασίαν εἰδικὴν ἀπορρόφησιν ἀπὸ τὸ θεραπευτικόν βαμβακέλαιον σ.τ. 35°, 5. Διὰ νὰ ἀποκτήσῃ τὸ βαμβακέλαιον εἰδικὴν ἀπορρόφησιν ἵσην πρὸς τὴν τοῦ ἐλαιολάδου, πρέπει τὸ σημεῖον τήξεως αὐτοῦ νὰ φθάσῃ τοὺς 48° (Πίναξ II).

Αἱ ἀρχικαὶ αὔται παρατηρήσεις ἐπεβεβαιώθησαν καὶ ἐκ τοῦ στατιστικοῦ μέρους (Πίναξ II), ἐκ τοῦ ὁποίου διεπιστώθη, ότι ἡ εἰδικὴ ἀπορρόφησις τῶν θεραπευτικῶν φυτικῶν ἐλαίων σ.τ. 35 - 42° κυμαίνεται μεταξὺ 81,9 - 131,2 εἰς 204m^μ καὶ 20,6 - 50,0 εἰς 210m^μ, τοῦ δὲ θεραπευτικοῦ βαμβακέλαιον σ.τ. 33,8 - 37,0 μεταξὺ 44,5 - 58 εἰς 204m^μ καὶ 9,2 - 10,7 εἰς 210m^μ. Μαγειρικὰ λίπη, παρασκευασθέντα ἔξ ἀμιγοῦς ἐλαιολάδου ἢ βαμβακελαίου, παρουσιάζουν εἰδικὴν ἀπορρόφησιν εἰς τὴν περιοχὴν 204 - 210m^μ (Πίναξ II) εὑρισκομένην ἐντὸς τῶν ὧν ἀνω καθορισθέντων δρίων.

‘Ἐκ τῶν ἀνωτέρω συνάγεται ότι, διὰ μετρήσεως τῆς εἰδικῆς ἀπορροφήσεως εἰς 204m^μ, 210m^μ καὶ τοῦ σημείου τήξεως, δυνάμεθα νὰ διακρίνωμεν τὰ ἔξ ἀμιγοῦς ἐλαιολάδου παρασκευαζόμενα δι’ θεραπευτικὰ λίπη καὶ μαργαρίνας, διότι προσθήκη θεραπευτικῶν φυτικῶν ἐλαίων εἰς ἀναλογίαν 10 - 20% καθίσταται ἀμέσως ἀντιληπτὴ ἐκ τῆς θεραπευτικῆς τῶν ἀνωτέρω δρίων.

‘Ἐκ τῶν λοιπῶν σταθερῶν δείκτης διαθλάσεως εἰς 40° κυμαίνομενος μεταξὺ 1,4616 - 1,4635 εἰς τὰ θεραπευτικά φυτικὰ ἐλαία σ. τ. 35 - 40° καὶ μεταξὺ 1,4600 - 1,4605 εἰς θεραπευτικῶν φυτικῶν ἐλαιόλαδα σ.τ. 33,8 - 37° δύναται νὰ χρησιμοποιηθῇ ὡς ἐπὶ πλέον στοιχεῖον διὰ τὴν διάκρισιν τῶν ὧν ἀνω λιπαρῶν υλῶν.

‘Η εἰδικὴ ἀπορρόφησις εἰς 233m^μ αὐξάνει κατὰ τὰ πρῶτα στάδια τῆς θεραπευτικῆς καὶ μάλιστα τόσον περισσότερον ὃσον πλουσιώτερον εἶναι τὸ χρησιμοποιούμενον ἐλαιόλαδον εἰς πολυακόρεστα λιπαρὰ δέξα, ἐν συνεχείᾳ δέ, δι’ θεραπευτικῶν φυτικῶν συζυγῶν συστημάτων, ἐλαττοῦται λαμβάνουσα τιμάς, διὰ προϊόντων σ.τ. 35 - 40°, μικροτέρας τῶν ἀρχικῶν. Αὕτη δύναται νὰ χρησιμοποιηθῇ διὰ τὴν διάκρισιν ἐλαφρῶς θεραπευτικῶν φυτικῶν ἐλαίων, σ.τ. 30 - 35°, ἔξ ἀντιστοίχων προϊόντων λαμβανομένων δι’ ἀναμίξεως θεραπευτικῶν φυτικῶν ἐλαίων θεραπευτικῆς σημείου τήξεως μετὰ ἔξηγενισμένων τοιούτων.

‘Η εἰδικὴ ἀπορρόφησις εἰς 270m^μ καὶ ἡ σταθερὰ ΔΚ παρουσιάζουν συνεχῆ ἐλάττωσιν κατὰ τὴν πρόοδον τῆς θεραπευτικῆς. Πάντως ἡ τελικὴ τιμὴ τῆς ΔΚ εἶναι συνήθως μεγαλυτέρα τοῦ 15 διὰ τὰ θεραπευτικά φυτικά ἐλαία, ἐνῷ εἰς τὰ θεραπευτικῶν φυτικῶν ἐλαιόλαδα κυμαίνεται περὶ τὸ μηδέν.

ΒΙΒΛΙΟΓΡΑΦΙΑ

- 1) Schweizerisches Lebensmittelbuch. Vierte Ausgabe 1937, S. 84.
- 2) Ε. ΣΥΝΟΔΙΝΟΣ και Ζ. ΚΩΝΣΤΑΣ : Πρακτικά 'Ακαδημίας 'Αθηνῶν 32, 493 (1957).
- 3) Ε. ΣΥΝΟΔΙΝΟΣ: Διάλυσις φυσικοῦ ἔλαιολάδου ἀπὸ ἐτέρων ἔλαιων φασματοφωτομετρικῶς. Διατριβὴ ἐπὶ διδακτορίᾳ 1964.
- 4) Λ. ΝΙΝΗΣ και M. NINNH : Πρακτικά 'Ακαδημίας 'Αθηνῶν 31, 97 (1956).
- 5) Λ. ΝΙΝΗΣ και M. NINNH : Πρακτικά 'Ακαδημίας 'Αθηνῶν 33, 103 (1958).
- 6) Λ. ΝΙΝΗΣ και M. NINNH : Πρακτικά 'Ακαδημίας 'Αθηνῶν 39, 473 (1964).
- 7) Progress in the Chemistry of Fats and other Lipids. R. T. HOLMAN, W. O. LUNDBERG and T. MALKIN Vol. 4, 229, 1957.
- 8) 'Ελληνικός Κώδιξ Τροφίμων.

S U M M A R Y

A method based on short wave ultraviolet spectrophotometry in combination with melting point determinations is described in this paper for the distinction of hydrogenated olive oils from the hydrogenated vegetable oils.

Thus hydrogenated olive oils with melting points 33,8° up to 37,0° have shown an absorptivity ($E_{1cm}^{1\%}$) 44,5 up to 58,0 at 204 m μ and 9,2 up to 10,7 at 210 m μ . On the contrary, the hydrogenated vegetable oils with melting points 35,0° up to 42° have shown an absorptivity 81,9 up to 131,2 at 204 m μ and 20,6 up to 50,0 at 210 m μ .

The proposed method can be used for the distinction of margarines and other edible fats manufactured from olive oils in respect of those being produced by using as raw materials other vegetable oils.